

# Math-Net.Ru

Общероссийский математический портал

В. Н. Тарасов, А. А. Михайлов, А. С. Миляев,  
А. К. Тоболкин, Расчет параметров нестационарного взаимодействия цилиндрической оболочки с вязкоупругой средой, *Исслед. по теор. пластин и оболочек*, 1992, выпуск 25, 35–40

Использование Общероссийского математического портала Math-Net.Ru подразумевает, что вы прочитали и согласны с пользовательским соглашением

<http://www.mathnet.ru/rus/agreement>

Параметры загрузки:

IP: 178.205.19.235

7 июня 2024 г., 16:16:14



В.Н.Тарасов, А.А.Михайлов, А.С.Миляев, А.К.Тоболкин

# РАСЧЕТ ПАРАМЕТРОВ НЕСТАЦИОНАРНОГО ВЗАИМОДЕЙСТВИЯ ЦИЛИНДРИЧЕСКОЙ ОБОЛОЧКИ С ВЯЗКОУПРУГОЙ СРЕДОЙ

Дифракция нестационарных упругих волн на цилиндрической оболочке рассматривалась в [1] для условий жесткого контакта, в [2] - для условий проскальзывания.

В настоящей работе рассматривается нестационарное взаимодействие плоской продольной вязкоупругой волны с цилиндрической оболочкой при условиях жесткого контакта и трения.

На бесконечно длинную круговую цилиндрическую оболочку набегает продольная ступенчатая вязкоупругая волна, фронт которой параллелен оси оболочки. Задача решается в полярных координатах  $\varphi$ ,

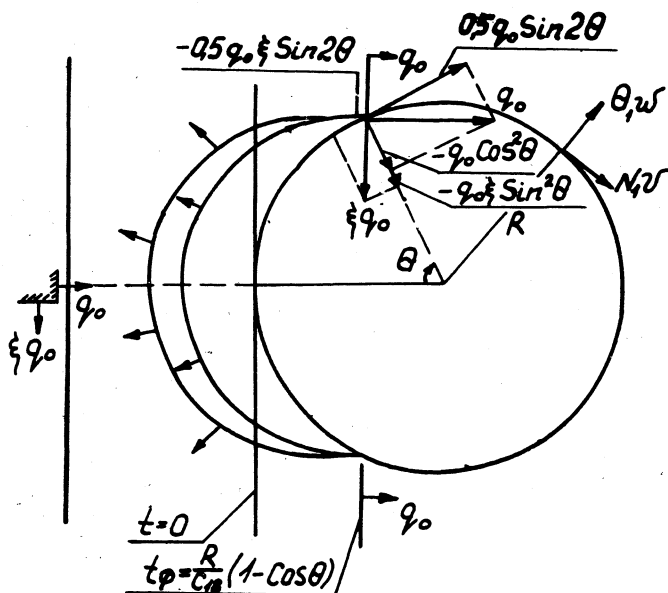


Рис. I

$\theta$  (рис.1). Отсчет времени производится с момента соприкоснове-  
ния падающей волны с оболочкой.

Математически задача сводится к совместному решению системы  
уравнений движения вязкоупругой среды [3] для потенциалов дифра-  
кционных продольной  $\varphi(r, \theta, t)$  и поперечной  $\psi(r, \theta, t)$   
волн и уравнений движения оболочки [4] в перемещениях  $w(t, \theta)$  и  
 $v(t, \theta)$  при заданных граничных и нулевых начальных условиях.

Решение выполняется с помощью преобразования Лапласа по вре-  
мени  $t$  и конечного преобразования Фурье по углу  $\theta$ .

Уравнения движения среды, оболочки и граничные условия для  
жесткого контакта в изображениях имеют соответственно следующий

вид:

$$\begin{cases} \frac{\partial^2 \varphi^{LC}}{\partial r^2} + \frac{1}{r} \frac{\partial \varphi^{LC}}{\partial r} - \frac{n^2}{r^2} \cdot \varphi^{LC} - \frac{\rho^2}{a(p+\alpha)} \cdot \varphi^{LC} = 0, \\ \frac{\partial^2 \psi^{LS}}{\partial r^2} + \frac{1}{r} \frac{\partial \psi^{LS}}{\partial r} - \frac{n^2}{r^2} \cdot \psi^{LS} - \frac{\rho^2}{b(p+\beta)} \psi^{LS} = 0, \end{cases} \quad (1)$$

$$v^{LS} \left[ n^2 + \rho^2 \frac{(1-\nu^2) R^2 \rho_0}{E} \right] + w^{LC} \cdot n = \frac{(1-\nu^2) R^2}{E h} [Q_1 +$$

$$+ \rho \rho^2 \psi^{LS} - \frac{2\mu(1+\nu)p}{R} \cdot \left( \frac{\partial \psi^{LS}}{\partial r} - \frac{n^2}{R} \psi^{LS} + \frac{n}{R} \varphi^{LC} - n \frac{\partial \varphi^{LC}}{\partial r} \right)], \quad (2)$$

$$v^{LS} \cdot n + w^{LC} \cdot \left[ c^2 n^4 + 1 - \frac{(1-\nu^2) R^2 \rho_0}{E} \cdot \rho^2 \right] = \frac{(1-\nu^2) \cdot R^2}{E h} \cdot [Q_2 -$$

$$- \rho \rho^2 \varphi^{LC} + \frac{2\mu(1+\nu)p}{R} \cdot \left( \frac{\partial \varphi^{LC}}{\partial r} - \frac{n^2}{R} \varphi^{LC} + \frac{n}{R} \psi^{LS} - n \frac{\partial \psi^{LS}}{\partial r} \right)], \quad (3)$$

$$w^{LC} = Q_3 - \frac{\partial \varphi^{LC}}{\partial r} - \frac{n}{R} \psi^{LS}, \quad (4)$$

$$v^{LS} = Q_4 + \frac{n}{R} \varphi^{LC} - \frac{\partial \psi^{LS}}{\partial r}, \quad (5)$$

где

$$Q_1 = q_0 (1 - \xi) 0,5 \pi \frac{e^{-y}}{\rho} \cdot [I_{n-2}(y) - I_{n+2}(y)],$$

$$Q_2 = q_0 \frac{e^{-y}}{\rho} \pi \{ \xi I_n(y) + 0,5(1 - \xi) [I_{n-2}(y) + I_{n+2}(y)] \},$$

$$Q_3 = - \frac{q_0 e^{-y}}{\rho \sqrt{a} \sqrt{p+\alpha} \cdot \rho^2} \pi [I_{n-1}(y) + I_{n+1}(y)],$$

$$Q_4 = \frac{q_0 e^{-y}}{\rho \sqrt{a} \sqrt{p+\alpha} \cdot p^2} \pi [I_{n-1}(y) - I_{n+1}(y)],$$

$\rho$ ,  $n$  - параметры преобразования Лапласа и Фурье,  $E$ ,  $\rho_0$ ,  $\nu$  - модуль упругости, плотность и коэффициент Пуассона материала оболочки,  $h$ ,  $R$  - толщина и радиус срединной поверхности оболочки,  $\rho$ ,  $\xi$  - плотность и коэффициент бокового давления среды,

$$a = \frac{4\mu}{3\rho} t_*, b = \frac{\mu t_*}{\rho}, \alpha = \frac{1 + \frac{3\kappa}{4\mu}}{t_*}, \beta = \frac{1}{t_*}, t_* = \frac{\nu}{\mu}, y = \frac{Rp}{\sqrt{a} \sqrt{p+\alpha}},$$

$\kappa$ ,  $\mu$  - модули соответственно объемного сжатия и сдвига упругой среды,  $\nu$  - коэффициент вязкости [3],  $I_n(y)$  - модифицированная функция Бесселя  $I$ -го рода.

Решение уравнений (1) запишем в виде [5]

$$\varphi^{LC} = \sum_{n=0}^{\infty} A_n K_n(y \frac{r}{R}), \quad \psi^{LS} = \sum_{n=1}^{\infty} B_n K_n(\frac{p}{\sqrt{b} \sqrt{p+\beta}} \cdot r),$$

где  $K_n(y)$  - функция Макдональда индекса  $n$ .

Из совместного решения уравнений (2) - (5), пренебрегая малыми членами, находим  $w^{LC}$ ,  $v^{LS}$ ,  $A_n$  и  $B_n$ .

В частности,  $w^{LC}$  получаем в следующей форме:

$$w^{LC} = \frac{n\sqrt{b}\sqrt{p+\beta}\pi}{R\rho^3\rho} q_0 e^{-y} \left\{ \frac{1}{\sqrt{a}\sqrt{p+\alpha}} [I_{n-1}(y) - I_{n+1}(y)] + \right. \\ \left. + \frac{\pi}{\rho R} \left[ 1 + \frac{2\mu(t_* + p^{-1})}{h\rho_0\sqrt{a}\sqrt{p+\alpha}} \right] [I_{n-1}(y) + I_{n+1}(y)] \right\}.$$

Обращение по углу  $\theta$  выполняется с помощью разложения Якоби [6].

Тогда  $w^L$  получаем в виде

$$w^L = q_0 \frac{\sqrt{b}\sqrt{p+\beta}}{\rho^3 R \rho} e^{-y(1-\cos\theta)} \left\{ \frac{1 + \frac{2\mu(t_* + p^{-1})}{h\rho_0\sqrt{a}\sqrt{p+\alpha}}}{\rho R} [\cos\theta + \right. \\ \left. + y \cos 2\theta - y \sin^2\theta(1+y \cos\theta)] + \frac{\cos\theta - y \sin^2\theta}{\sqrt{a}\sqrt{p+\alpha}} \right\}.$$

Для построения оригинала  $w(t, \theta)$  надо обратить выражение вида

$$\frac{e^{-\gamma(1-\cos\theta)}\sqrt{\rho+\beta}}{\rho^m(\rho+\alpha)^j}, \quad (5')$$

где  $m=1 \div 5$ ,  $j = \frac{1}{2}; 1; \frac{3}{2}$ .

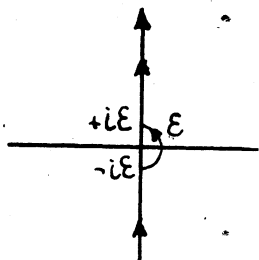


Рис. 2

Обращение этих выражений производится по формуле Меллина с интегрированием в комплексной плоскости переменного поля  $\rho$  по контуру (рис.2), идущему из бесконечности по отрицательной мнимой полуоси, огибающему справа по полуокружности бесконечно малого радиуса начало координат и вновь уходящему на бесконечность вдоль положительной мнимой полуоси. Особенности подынтегральных выражений (5') в точках  $\rho=0, -\alpha, -\beta$  рас- полагаются левее контура интегрирования.

Стремление радиуса полуокружности к нулю вызывает бесконечный рост вклада от интеграла по полуокружности из-за полюса подынтегральной функции  $\rho=0$ .

Однако посредством интегрирования по частям на вертикальных участках контура легко показать, что бесконечный рост интеграла по полуокружности компенсируется бесконечно большими вкладами интегралов по мнимой полуоси. В результате упомянутого выше предельного перехода для оригиналов получаются выражения, состоящие из суммы элементарного внеинтегрального выражения и несобственного интеграла, имеющего экспоненциальную сходимость на бесконечности, и, как легко видеть из структуры подынтегральной функции, не имеющего особенности в нуле.

Для выражения  $e^{-\gamma\sqrt{\rho+\beta}}\rho^{-4}$  получаем такой оригинал:

$$-\frac{3\sqrt{\beta}K}{16\alpha^{5/2}} + \frac{K\sqrt{\beta}}{4\alpha^{3/2}}\left(t - \frac{K}{\sqrt{\alpha}}\right) + \frac{\sqrt{\beta}}{12}\left(t - \frac{K}{\sqrt{\alpha}}\right)^3 + \frac{K}{8\alpha^{3/2}\sqrt{\beta}} + \frac{\left(t - \frac{K}{\sqrt{\alpha}}\right)^2}{8\sqrt{\beta}} -$$

$$-\frac{1}{16\beta^{3/2}}\left(t - \frac{K}{\sqrt{\alpha}}\right) + \frac{1}{32\beta^{5/2}} + \frac{1}{12\pi i} \int_0^{\infty} \frac{W(ix) - W(-ix)}{x} dx, \quad (6)$$

где  $K = \frac{R}{\sqrt{\alpha}}(1 - \cos\theta)$ ,  $W(p) = \frac{d^3}{dp^3} \left( e^{pt} e^{-\kappa p(\rho+\alpha)^{0.5}} \sqrt{\rho+\beta} \right)$ .

Несобственный интеграл в (6) вычисляется с помощью ЭВМ. Для начальных моментов времени особенно эффективен метод Симпсона.

Граничные условия трения выражают равенство радиальных скоростей частиц грунта и оболочки (4) и пропорциональность суммарного касательного напряжения в грунте разности тангенциальных скоростей частиц грунта и оболочки. Обращение изображений искомых функций выполнялось аналогично предыдущей задаче.

Числовые расчеты выполнялись с помощью ЭВМ для следующих исходных данных:

оболочка  $R = 5 \text{ м}; k = 0,6 \text{ м}; \nu = 0,17; \rho_0 = 2,7 \text{ т/м}^3;$   
 $E = 3 \cdot 10^4 \text{ МПа};$   
 грунт  $\rho = 2,4 \text{ т/м}^3; \xi = 0,7; c_1 = 1500 \text{ м/с}; c_2 = 600 \text{ м/с};$   
 $\mu_0 = 10^5 \text{ с}^{-1}; E_r = 1,08 \cdot 10^3 \text{ МПа}; K_{тр} = 0,3;$   
 нагрузка  $q_0 = 0,2 \text{ МПа}.$

Результаты расчета прогиба  $w/k$  в лобовой точке ( $\theta = 0^\circ$ ) показаны на рис.3 пунктирной линией для условий жесткого контакта и сплошной линией для условий трения. На этом рисунке для тех же исходных данных штрих-пунктирной, двойной пунктирной и двойной штрих-пунктирной линиями показано изменение во времени прогиба  $w/k$  при набегании упругой волны, вычисленное по результатам работы [7] соответственно для условий трения полного проскальзывания и жесткого контакта.

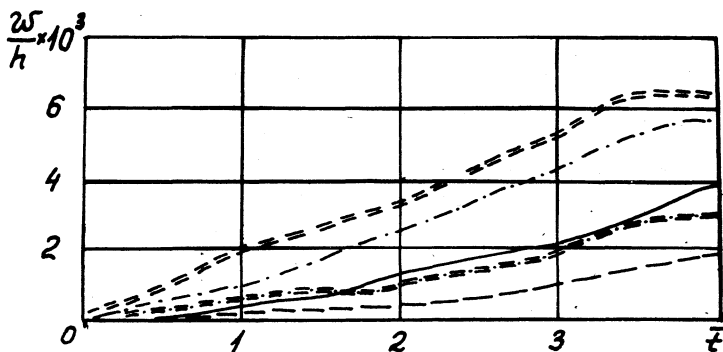


Рис. 3

Анализ полученных результатов показал следующее:

- Учет вязкости среды приводит к резкому уменьшению прогибов; для условий трения на интервале  $0 < \bar{t} < 1$  в 2,5 - 3 раза, на интервале  $2 < \bar{t} < 4$  в 1,5 - 2 раза; при жестком контакте в 1,5 - 2 раза для  $0 < \bar{t} < 2$  и на 30 - 40 % для  $2 < \bar{t} < 4$ .

- Уменьшение коэффициента вязкости среды на I порядок ведет к увеличению прогибов на 10 - 15 %, на 2 порядка - на 25 - 30 %.

- Учет вязкости среды приводит к уменьшению окружного усилия  $N$ , причем для условий жесткого контакта оно оказывается на 30 - 50 % меньше, чем при трении.

- При условии жесткого контакта прогибы оболочки в вязко - упругой среде снижаются в 2 - 3 раза по сравнению с упругой средой [7].

Полученное решение позволяет оценить влияние вязкости грунта и вида граничных условий на параметры взаимодействия оболочки с набегающей волной.

### Л и т е р а т у р а

1. B a r o n M.L., P a r n e s R. Diffraction of a pressure wave by a cylindrical shell in an elastic medium. Proc. 4th U.S. Nat. Congr. Appl. Mech., I. (63 - 75), 1962.

2. М и х а й л о в А.А., М и л я е в А. С., Т а з и - х и н а Е.Н. Нестационарное взаимодействие плоской продольной волны с упругой цилиндрической оболочкой в грунте // Строит. механика и расчет сооружений. - 1988. - № I. - С.40 - 44.

3. Н о в а ц к и й В.К. Динамика сооружений. - М.: Гос - стройиздат, 1963. - 376 с.

4. В л а с о в В.З. Избранные труды. - М.: Изд-во АН СССР, 1962. - Т. I. - 528 с.

5. А р с е н и н В.Я. Методы математической физики и специальные функции. - М.: Наука, 1984. - 384 с.

6. К о р е н е в В.Г. Введение в теорию бесселевых функций. - М.: Наука, 1971. - 287 с.

7. М и х а й л о в А.А., М и л я е в А.С., Т а р а - с о в В.Н. Анализ влияния граничных условий на напряженно-деформированное состояние подземных трубопроводов при набегающих волновых нагрузках // Строительная механика сооружений. Л., 1989. - С.43 - 47.